

沿岸固定式波力発電装置の発電運転試験

堀田 平*・鷲尾 幸久**・益田 善雄**
石田 進一**・宮崎 武晃*・工藤 君明**

1. はじめに

近年、離島・港湾などの沿岸域で電力の供給が困難な地域における電源として、波の持つエネルギーを利用して発電を行う波力発電装置の開発が注目されつつある¹⁾。この装置の一つとして振動水柱型空気タービン方式の波力発電装置の開発が注目され、国内外で数多くの研究開発が行われている。その実用化モデルとして、海岸の自然地形を利用して容易に設置することができるコンパクトな装置である「沿岸固定式波力発電装置」が、日本海に面した岩礁に昭和58年9月に建造され、以後翌年3月まで各種の計測および発電運転が行われ、実機規模の装置についての資料を得ることができた^{2),3)}。

本報では、それらの概要を紹介し、これまでの模型試験および理論計算による成果と比較し、実用化に対する検討を行う。

2. 装置の概要

2.1 堤体

沿岸固定式波力発電装置は、図-1に示すように山形県鶴岡市三瀬の立岩地区の岩礁にある西北西に湾口を開いた入り江の奥の水深約3mの地点に設置された。冬期間のこの海域における波の多くは西から北西の範囲から進行して来るため、装置にはほぼ正面から入射する状態

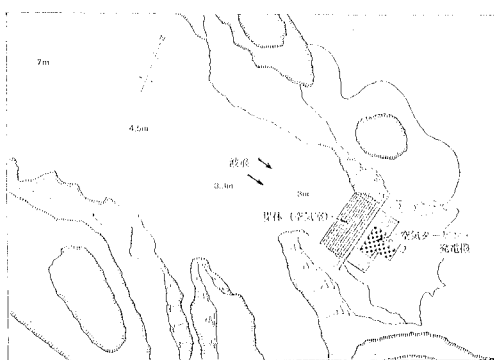


図-1 装置の設置場所概略図

になっている。

装置は、空気室である堤体と負荷装置である空気タービン・発電機とから成っている。堤体は、側面断面図を図-2に示すように、幅8.1m、平均水面(D.L.)上天端高さ約5m、静水面部奥行約7m、前面壁(カーテンウォール)没水深さ0.65m、静水面部線面積約50m²であり、鋼製ケーソンとコンクリートから成るハイブリッド構造になっている。重量約50t(490kN)の鋼製ケーソンは、梯形をした基礎の上に乗せられ、控H鋼、扶壁、サイドサポートおよび空隙へのコンクリートの充填などにより、写真-1に示すように岩礁に堅固に固定された。

堤体の前面は、前面壁の下端から海底まで開口され、そこから波エネルギーが入射し、堤体内的水面を上下させ、天端の開孔部を通じて空気を流入・流出させる。これにより開孔上の空気タービン・発電機を回転させ発電を行う。この方式を振動水柱型空気タービン方式といいう。

2.2 空気タービン・発電機

空気タービンには、翼断面形状NACA 0021、翼枚数16枚、外径約1.34m、ステンレス鉄鋼製のウェルズタービンを用いた⁴⁾。このタービンは翼断面が線対称形状であるために波によって往復する空気流に対して同一方向に回転し、またこのタービンを発電機の両側に取り付けてタンデム配置として回転によって生じる軸方向のスラスト荷重を互いに打ち消すようにしてある。この空気タービンの負荷特性として、タービン前後の差圧 Δp と

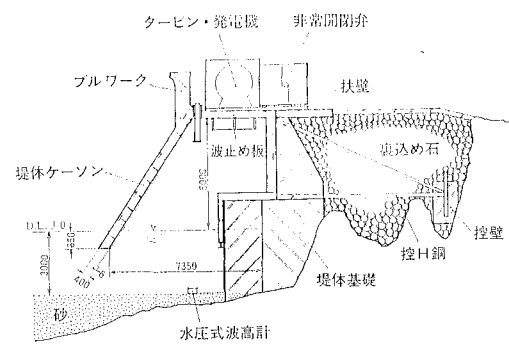


図-2 装置側面断面図

* 正会員 海洋科学技術センター 海洋開発研究部
** 海洋科学技術センター 海洋開発研究部

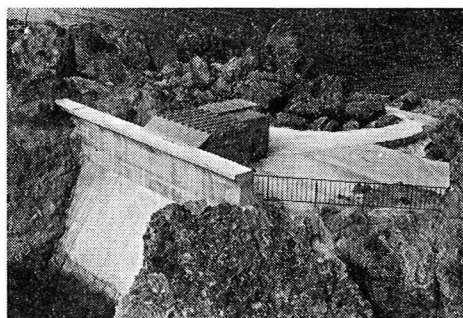


写真-1 沿岸固定式波力発電装置の外観

軸流速度 V_a (タービン部通過空気流量/タービン環状流路断面積) の関係について、送風機による定常流中試験によって得られた値を図-3に示す。なお、図中の細線は、同流量に対するノズル(開孔)による負荷特性であり、ノズル面積としてタービンの環状流路断面積から翼面積を差し引いた値ならびにその $1/2$ の値、すなわちノズル比 C_N (ノズル面積/空気室面積) として $1/140$ ならびに $1/200$ の場合の値を示す。

一方、使用した発電機は定格出力 40 kW 、定格回転数 1792 rpm の同期発電機であり、出力電圧が AC 200 V で一定になるように制御されている。なお、発電された電力は抵抗負荷器により総て熱エネルギーに変換され、放熱により消費されるようにした。

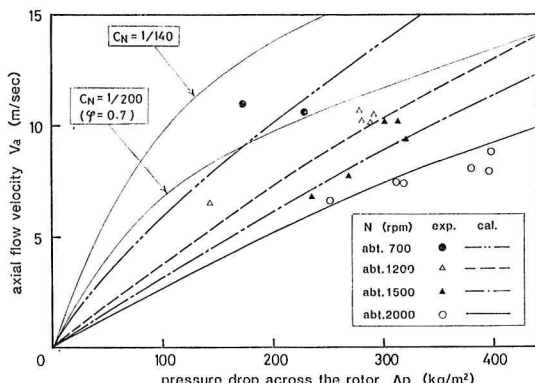


図-3 空気タービンによる負荷特性

2.3 波浪および潮汐

本試験においては、装置前方および沖合における波浪の観測は行われなかった。そこで、装置に入射する波のデータとして、装置の設置場所から海岸線に沿って南西に約 7 km の地点にある気象庁五十川波浪観測所において計測された沖合波浪に関するデータを用いた。計測期間中の $1/3$ 有義波の総計 1578 点のデータに対する出現度数分布を表-1に示す。

一方、潮汐は一日一回潮であり、その高さは大潮で約 0.6 m 程度、小潮で約 0.3 m 程度であり、堤体の前面壁下端が静水面上になることは無い。

表-1 沖合における有義波出現度数分布

周期(秒)	0	1	2	3	4	5	6	7	8	9	10	11	12
波高(m)	3	4	5	6	7	8	9	10	11	12	13	14	15
0.0~0.5	1	32	58	60	26	6	4	0	1	1	3	0	0
~0.0	0	4	58	89	126	27	3	0	0	0	0	0	0
~1.5	0	0	14	99	122	62	12	0	0	0	0	0	0
~2.0	0	0	2	36	96	59	22	0	0	0	0	0	0
~2.5	0	0	0	1	48	87	31	2	0	0	1	0	0
~3.0	0	0	0	0	16	61	54	0	0	0	0	0	0
~3.5	0	0	0	0	0	31	52	12	1	0	0	0	0
~4.0	0	0	0	0	0	6	48	16	0	0	0	0	0
~4.5	0	0	0	0	0	1	14	23	3	0	0	0	0
~5.0	0	0	0	0	0	0	4	16	4	0	0	0	0
~5.5	0	0	0	0	0	0	0	7	2	1	0	0	0
~6.0	0	0	0	0	0	0	0	0	1	5	1	0	0
~6.5	0	0	0	0	0	0	0	0	0	0	2	0	0
~7.0	0	0	0	0	0	0	0	0	0	0	2	1	0
7.0<	0	0	0	1	0	0	0	0	0	0	0	0	0

3. 空気出力特性

計測は、主に空気室内圧力 p 、空気室内水位 z 、タービン回転数 N 、発電出力 E について行われた。計測例として、沖合での波浪が $H_{1/3}=3.5\text{ m}$ 、 $T_{1/3}=8.5\text{ 秒}$ の時のデータを図-4に示す。

これらを用いて、空気出力特性すなわち堤体の波エネルギー一次変換特性について調べる。

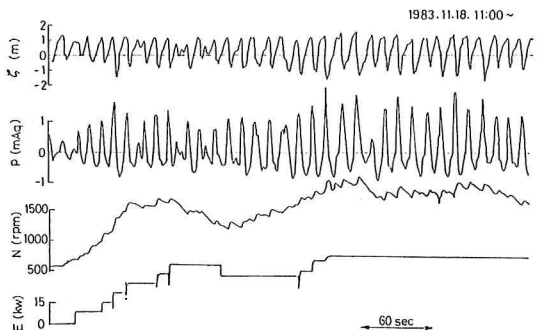


図-4 計測データ例

3.1 空気室内水位変動

本装置は、振動水柱型の装置ではあるが、空気室内の水面は定波などにより水平とはなっていない。そこで、碎波しない波についてのみ、装置の直前における有義波浪の入射波高 H_f を浅水変形から推定し、それに対する空気室内平均水位変動と振動幅の有義値 ζ_s の割合について平均波周期 T_{AVE} に対して求めたものを図-5に示す。

図中の実験値はノズル比 $1/150$ のノズルを負荷とした約 $1/11$ 縮尺模型による値である⁵⁾。これより、 $T_{AVE}=5\sim6\text{ 秒}$ において、実海域計測値がばらつくことから、碎波しない波についても空気室内に発生する定在波の影響で空気室内波面は水平でなく、したがって空気室内の水塊を等価浮体として取り扱うことは困難であると考え

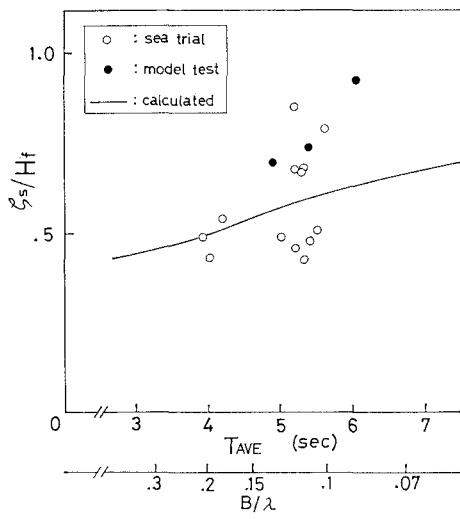


図-5 空気室内水位変動特性

られる。

そのため、図中の計算値は、空気室内の質量およびエネルギーの保存則から導いた小島・高橋ら⁶⁾の方法を用いて得られた結果である。この計算において、入射波を正弦波とし、またタービンの回転による縮流状況を表す速度係数は0.7で一定としてノズル比1/200のノズルによる負荷との値として求めた。なお、ウェルズタービンは線形負荷、すなわちタービン前後の差圧は空気流速にはほぼ比例するという特性を有しているが、図-3にも示すように、本タービンの運転状況に関しては $\varphi=0.7$ ではほぼ近似できるとして、この方法を用いた。

この結果、計算値は実海域計測値を定性的・定量的に推定するのに有効であり、これより、タービン負荷をその回転数に依存する絞りの係数を用いてノズル負荷に置き換える小島・高橋らの方法が有効であることが確認さ

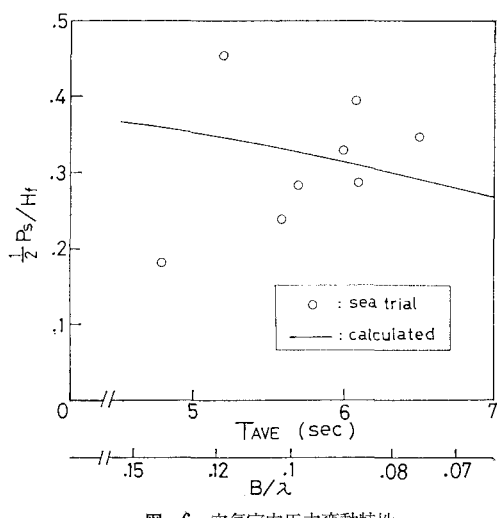


図-6 空気室内圧力変動特性

れた。

3.2 空気室内圧力変動

3.1と同様に、碎波しない波について、 H_f に対する空気室内圧力変動ピーク値の有義値 p_s の片振幅の比(比圧力)として得られた値を図-6に示す。図中の計算値は、3.1にて用いた方法で求めた値である。計測値が少ないので定性的に評価し難いが、波周期6秒前後では合っており、この付近の周期が卓越していることから、総合的な空気出力の推定には有効であろう。

3.3 空気出力効率

空気出力は、空気室内の水塊の行う仕事、すなわち空気室内波面変動速度と空気室内圧力の積であり、3.1および3.2に示したように、そのいずれについても計算結果が有効であることから、ここに用いた計算法によって求められる空気出力効率もまた有効であることが推定される。計算結果ならびにノズル比を1/150として行った実験結果を図-7に示す。

これより、本装置の堤体の空気出力効率すなわち波エネルギー一次変換効率は、碎波しないような波に対しては、設置海域の波周波数帯において約50%程度であることが推定された。

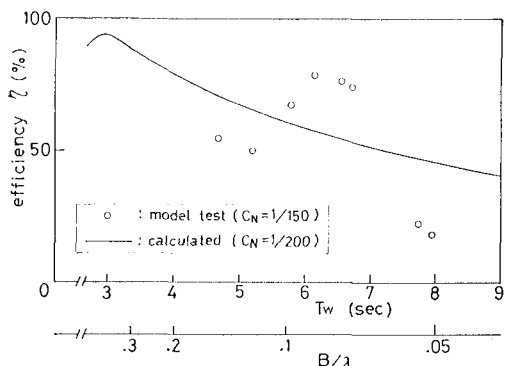


図-7 空気出力効率

4. 発電出力特性

4.1 発電運転

発電運転は、出力電圧をAC 200V一定とし、タービン・発電機の回転数に応じて抵抗負荷器の抵抗値の設定を変えて電流値を操作する方式で行われた。これには自動運転と手動運転があり、計測時には主に手動運転で行われた。したがって、操作に運転者の判断が入るため発電出力を定量的に正確に把握することは困難である。

図-8に本試験において行った発電運転状況を示す。図中の N_{mean} は平均タービン回転数、 E_m は計測時間内平均発電出力である。また、斜線で囲まれた範囲が定電圧の発電可能な領域であり、それに比べて比較的低出力の運転を行っていたことが判る、3.1に示したように、

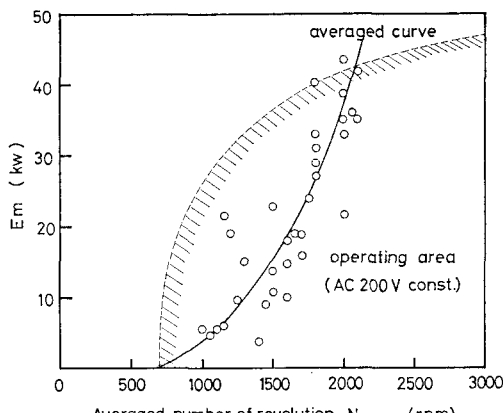


図-8 タービン回転数と発電出力の関係

“ノズル”は過負荷などに絞られていることからも、運転にあたっては、より回転数を低下させるように操作すること、すなわち発電出力を増加させるようにすることが良いことが推定される。

4.2 空気室内圧力に対する特性

図-9に空気室内圧力変動ピーク値 p_{peak} の平均値と有義値に対する E_m の特性を示す。空気室内圧力と発電出力の間には明白な相関があり、これは、タービンの諸特性が変動する空気流の中で準定的に取り扱うことができるなら、以下に示すように推測できる。

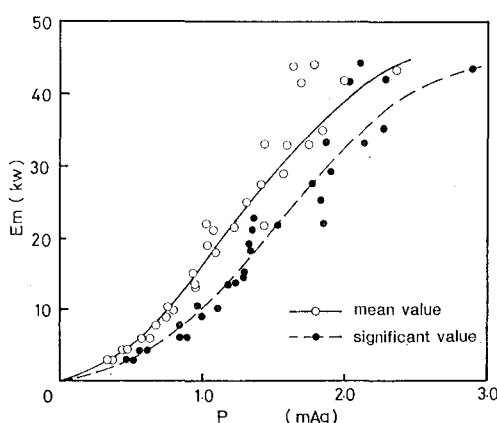


図-9 空気室内圧力に対する発電出力

発電出力 E_m は、空気室内圧力すなわちタービン差圧 Δp を用いて、次式で求められる。

$$E_m = a A_T R_T N \frac{C_T}{\eta_T} \eta_G(N) \Delta p \quad (1)$$

ここで、
a; トルク—発電出力換算係数

A_T ; タービンの環状流路断面積

R_T ; タービン半径

N; 回転数

C_T ; タービントルク係数

η_T ; タービン差圧係数

η_G ; 発電機効率

今、 η_G が N に対しほぼ一定だとすると、 N は $4p$ にほぼ比例しており、したがって C_T/η_T も概ね一定であることから、タービン失速領域には入っていないことが推定でき、タービン効率の観点からは効果的な範囲での運転であったと考えられる。

4.3 沖合波浪に対する特性

図-10に沖合における有義波高の一日平均値 H_s に対する一日平均発電出力 E_d の関係を示す。

沖合における不規則波の持つ波エネルギー E_W は、有義周期 T_s および H_s を用いて、次式で表わされる。

$$E_W = 0.44 H_s^2 T_s \quad [\text{kW}/\text{m}] \quad \dots\dots\dots(2)$$

一方、表-1に示すように T_s は H_s と正相関の関係を有している。

これに対して図-10に示す発電出力は H_s にほぼ比例しており、エネルギーの大きな高波高、長周期の波に對しては有効にエネルギー吸収を行っていないことが判る。これは、3.3に示した堤体の空気出力効率が長周期側で低下することも要因の一つではあるが、そのような波は装置に入射する以前で碎波してエネルギーを減衰させていることにも起因しているであろう。

また、計測期間中の月別および総合の平均有義波浪と

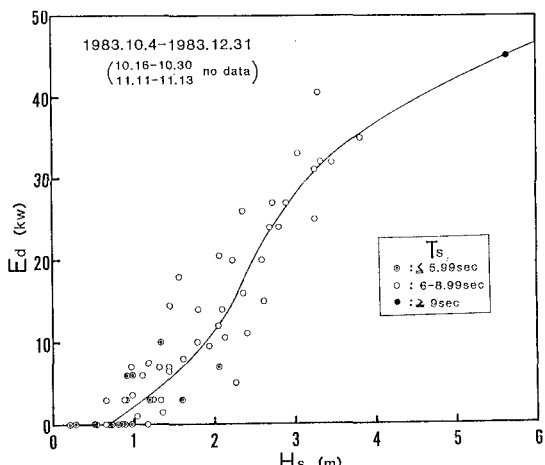


図-10 沖合有義波高に対する平均発電出力

表-2 月別平均有義波浪と平均発電出力

年	月	平均 1/3 有義波浪		平均 発電出力 (kW)
		周期 (秒)	波高 (m)	
1983	10	6.5	1.4	8.8
	11	6.8	1.6	13.7
	12	7.3	2.2	17.4
1984	1	7.3	2.2	12.8
	2	6.9	2.1	9.5
	3	6.6	1.7	5.4
総合		6.9	1.8	11.3

平均発電出力を表-2に示す。これより、本装置の沖合の波エネルギーに対する総合発電効率として約11%を得ており、堤体の空気出力効率が約50%，タービン効率が約40%³⁾であることから、入射波のエネルギーは浅水影響等により約1/2に減じていたと推定される。

5. 結 語

(1) 本方式の装置が、冬期の日本海沿岸において発電運転を行なうにあたって十分に耐久性を有し、また岩礁にも堅固に固定できることが確認された。

(2) 本装置のような固定式装置の空気出力を求めるには、空気室内の定在波を考慮した小島・高橋らの方法が有効であることが確認され、それにより、堤体の空気出力効率は約50%程度であることが推定された。

(3) 発電出力はほぼ沖合波高に比例し、計測期間を通じての平均発電力は約11.3kW、沖合の波エネルギーに対する発電出力効率は約11%であった。

(4) 発電運転にあたっては多分に過負荷な操作を行なっており、より適した操作を行うことにより、一層の出力の向上を図ることができる。

6. おわりに

振動水柱型空気タービン方式である沿岸固定式波力発電装置の冬期約半年間に亘る発電運転および計測の結果、堤体ならびにタービン・発電機ともに大きなトラブルは無く、平均発電出力11.3kWを得たことから、本方式装置の実用化へ目処を立てることができた。しかし、発電単価まで考慮すれば更に出力の向上を図る必要があり、堤体およびタービン・発電機にはまだ改善すべ

き点は多く残されている。今後、これらの課題について一層の研究を行い、十分実用に供する装置を開発しなければならない。

本装置は、昭和58年度に新技術開発事業団に開発課題として採用され、三井造船株式会社および富士電機株式会社によって建造されたものであることを付記し、これにご尽力下さった関係各位、ならびにご指導頂いた東京大学工学部舶用機械工学科 荒川忠一助教授、鈴木正巳助手、東京大学生産技術研究所 木下 健助教授、運輸省港湾技術研究所水工部 高橋重雄室長、ご協力頂いた山形県、鶴岡市、三瀬および漁業共同組合各位に厚く御礼申しあげます。

参 考 文 献

- 1) 近藤徹郎・渡辺富治・奥山教海・松田敏彦: 離島に対する沿岸波浪エネルギー利用システムの適用性、第1回波浪エネルギー利用シンポジウム、pp. 339~349、海洋科学技術センター、1984。
- 2) 堀田 平・鶴尾幸久・石井進一・益田善雄・宮崎武晃・工藤君明: 沿岸固定式波力発電装置の開発、第10回海洋開発シンポジウム、土木学会、1985。
- 3) 石井進一・益田善雄・宮崎武晃・工藤君明・堀田 平・鶴尾幸久: 沿岸固定式空気タービン波力発電装置の発電運転試験、海洋科学技術センター試験研究報告、14号、pp. 55~79、1984。
- 4) 鶴尾幸久・堀田 平・宮崎武晃・益田善雄: タンデムウェルズタービンの実機性能試験、第1回波浪エネルギー利用シンポジウム、pp. 191~199、1984。
- 5) 日大理工学部増田研究室・東大生研木下研究室: 振動水柱型波浪発電装置の一次変換効率水槽実験、(未印刷)。
- 6) Shigeo Takahashi, R. Ojima, S. Suzumura: Air power of Pneumatic-type wave power extractors due to irregular wave actions—a study one development of wave power, 3rd report—, 港湾技術研究所報告、第24卷第1号、1985。